

Starkniederschlagshöhen und -spenden gemäß KOSTRA-DWD-2020

Rasterfeld 199142

(Zeile 199, Spalte 142)

Regenspende und Bemessungsniederschlagswerte in Abhängigkeit von Wiederkehrzeit T und Dauerstufe D

| Dauerstufe D | | Wiederkehrzeit T | | | | | | | | | | | | | | | | | |
|--------------|-----|------------------|------------|------|------------|------|------------|------|------------|-------|------------|-------|------------|-------|------------|-------|------------|-------|------------|
| | | 1 a | | 2 a | | 3 a | | 5 a | | 10 a | | 20 a | | 30 a | | 50 a | | 100 a | |
| min | Std | mm | l / (s ha) | mm | l / (s ha) | mm | l / (s ha) | mm | l / (s ha) | mm | l / (s ha) | mm | l / (s ha) | mm | l / (s ha) | mm | l / (s ha) | mm | l / (s ha) |
| 5 | | 8,1 | 270,0 | 9,7 | 323,3 | 10,7 | 356,7 | 12,0 | 400,0 | 13,9 | 463,3 | 15,8 | 526,7 | 17,1 | 570,0 | 18,7 | 623,3 | 21,1 | 703,3 |
| 10 | | 10,5 | 175,0 | 12,5 | 208,3 | 13,8 | 230,0 | 15,5 | 258,3 | 17,9 | 298,3 | 20,4 | 340,0 | 22,0 | 366,7 | 24,2 | 403,3 | 27,2 | 453,3 |
| 15 | | 11,9 | 132,2 | 14,3 | 158,9 | 15,7 | 174,4 | 17,6 | 195,6 | 20,4 | 226,7 | 23,2 | 257,8 | 25,1 | 278,9 | 27,5 | 305,6 | 31,0 | 344,4 |
| 20 | | 13,0 | 108,3 | 15,6 | 130,0 | 17,1 | 142,5 | 19,2 | 160,0 | 22,2 | 185,0 | 25,3 | 210,8 | 27,4 | 228,3 | 30,0 | 250,0 | 33,8 | 281,7 |
| 30 | | 14,6 | 81,1 | 17,5 | 97,2 | 19,3 | 107,2 | 21,6 | 120,0 | 25,0 | 138,9 | 28,4 | 157,8 | 30,7 | 170,6 | 33,7 | 187,2 | 38,0 | 211,1 |
| 45 | | 16,3 | 60,4 | 19,5 | 72,2 | 21,5 | 79,6 | 24,1 | 89,3 | 27,9 | 103,3 | 31,8 | 117,8 | 34,3 | 127,0 | 37,6 | 139,3 | 42,4 | 157,0 |
| 60 | 1 | 17,6 | 48,9 | 21,1 | 58,6 | 23,2 | 64,4 | 26,0 | 72,2 | 30,1 | 83,6 | 34,3 | 95,3 | 37,0 | 102,8 | 40,6 | 112,8 | 45,8 | 127,2 |
| 90 | 1,5 | 19,6 | 36,3 | 23,4 | 43,3 | 25,8 | 47,8 | 29,0 | 53,7 | 33,5 | 62,0 | 38,1 | 70,6 | 41,2 | 76,3 | 45,2 | 83,7 | 50,9 | 94,3 |
| 120 | 2 | 21,1 | 29,3 | 25,2 | 35,0 | 27,8 | 38,6 | 31,2 | 43,3 | 36,0 | 50,0 | 41,0 | 56,9 | 44,3 | 61,5 | 48,6 | 67,5 | 54,8 | 76,1 |
| 180 | 3 | 23,4 | 21,7 | 28,0 | 25,9 | 30,8 | 28,5 | 34,6 | 32,0 | 39,9 | 36,9 | 45,5 | 42,1 | 49,1 | 45,5 | 53,9 | 49,9 | 60,7 | 56,2 |
| 240 | 4 | 25,1 | 17,4 | 30,1 | 20,9 | 33,1 | 23,0 | 37,1 | 25,8 | 42,9 | 29,8 | 48,9 | 34,0 | 52,8 | 36,7 | 58,0 | 40,3 | 65,3 | 45,3 |
| 360 | 6 | 27,8 | 12,9 | 33,3 | 15,4 | 36,7 | 17,0 | 41,1 | 19,0 | 47,5 | 22,0 | 54,2 | 25,1 | 58,5 | 27,1 | 64,2 | 29,7 | 72,3 | 33,5 |
| 540 | 9 | 30,8 | 9,5 | 36,8 | 11,4 | 40,6 | 12,5 | 45,5 | 14,0 | 52,6 | 16,2 | 59,9 | 18,5 | 64,7 | 20,0 | 71,0 | 21,9 | 80,0 | 24,7 |
| 720 | 12 | 33,0 | 7,6 | 39,6 | 9,2 | 43,6 | 10,1 | 48,9 | 11,3 | 56,5 | 13,1 | 64,4 | 14,9 | 69,5 | 16,1 | 76,3 | 17,7 | 85,9 | 19,9 |
| 1080 | 18 | 36,5 | 5,6 | 43,7 | 6,7 | 48,2 | 7,4 | 54,0 | 8,3 | 62,5 | 9,6 | 71,2 | 11,0 | 76,9 | 11,9 | 84,3 | 13,0 | 95,0 | 14,7 |
| 1440 | 24 | 39,2 | 4,5 | 47,0 | 5,4 | 51,8 | 6,0 | 58,0 | 6,7 | 67,1 | 7,8 | 76,4 | 8,8 | 82,6 | 9,6 | 90,6 | 10,5 | 102,0 | 11,8 |
| 2880 | 48 | 46,6 | 2,7 | 55,8 | 3,2 | 61,5 | 3,6 | 68,9 | 4,0 | 79,7 | 4,6 | 90,8 | 5,3 | 98,0 | 5,7 | 107,5 | 6,2 | 121,2 | 7,0 |
| 4320 | 72 | 51,5 | 2,0 | 61,7 | 2,4 | 67,9 | 2,6 | 76,2 | 2,9 | 88,1 | 3,4 | 100,3 | 3,9 | 108,4 | 4,2 | 118,9 | 4,6 | 133,9 | 5,2 |
| 5760 | 96 | 55,3 | 1,6 | 66,2 | 1,9 | 72,9 | 2,1 | 81,8 | 2,4 | 94,6 | 2,7 | 107,7 | 3,1 | 116,3 | 3,4 | 127,6 | 3,7 | 143,8 | 4,2 |
| 7200 | 120 | 58,5 | 1,4 | 70,0 | 1,6 | 77,1 | 1,8 | 86,4 | 2,0 | 99,9 | 2,3 | 113,8 | 2,6 | 122,9 | 2,8 | 134,9 | 3,1 | 152,0 | 3,5 |
| 8640 | 144 | 61,1 | 1,2 | 73,2 | 1,4 | 80,6 | 1,6 | 90,4 | 1,7 | 104,5 | 2,0 | 119,1 | 2,3 | 128,6 | 2,5 | 141,1 | 2,7 | 159,0 | 3,1 |
| 10080 | 168 | 63,5 | 1,0 | 76,0 | 1,3 | 83,8 | 1,4 | 93,9 | 1,6 | 108,6 | 1,8 | 123,7 | 2,0 | 133,6 | 2,2 | 146,6 | 2,4 | 165,2 | 2,7 |

Starkniederschlagshöhen und -spenden gemäß KOSTRA-DWD-2020

Rasterfeld 199142

(Zeile 199, Spalte 142)

Örtliche Unsicherheiten in Abhängigkeit von Wiederkehrzeit T und Dauerstufe D

| Dauerstufe D | | Wiederkehrzeit T | | | | | | | | |
|--------------|-----|------------------|-----|-----|-----|------|------|------|------|-------|
| | | 1 a | 2 a | 3 a | 5 a | 10 a | 20 a | 30 a | 50 a | 100 a |
| min | Std | ± % | ± % | ± % | ± % | ± % | ± % | ± % | ± % | ± % |
| 5 | | 14 | 14 | 15 | 15 | 16 | 17 | 17 | 17 | 18 |
| 10 | | 18 | 19 | 19 | 20 | 21 | 21 | 22 | 22 | 22 |
| 15 | | 20 | 21 | 22 | 22 | 23 | 24 | 24 | 24 | 25 |
| 20 | | 21 | 22 | 23 | 23 | 24 | 25 | 25 | 25 | 26 |
| 30 | | 22 | 23 | 24 | 24 | 25 | 26 | 26 | 26 | 27 |
| 45 | | 22 | 23 | 24 | 25 | 25 | 26 | 26 | 27 | 27 |
| 60 | 1 | 22 | 23 | 24 | 25 | 25 | 26 | 26 | 27 | 27 |
| 90 | 1,5 | 21 | 23 | 23 | 24 | 25 | 25 | 26 | 26 | 26 |
| 120 | 2 | 21 | 22 | 22 | 23 | 24 | 24 | 25 | 25 | 26 |
| 180 | 3 | 20 | 21 | 21 | 22 | 23 | 23 | 24 | 24 | 24 |
| 240 | 4 | 19 | 20 | 20 | 21 | 22 | 22 | 23 | 23 | 23 |
| 360 | 6 | 17 | 19 | 19 | 20 | 20 | 21 | 21 | 22 | 22 |
| 540 | 9 | 16 | 17 | 18 | 18 | 19 | 20 | 20 | 20 | 21 |
| 720 | 12 | 16 | 16 | 17 | 17 | 18 | 19 | 19 | 19 | 20 |
| 1080 | 18 | 15 | 16 | 16 | 16 | 17 | 17 | 18 | 18 | 18 |
| 1440 | 24 | 14 | 15 | 15 | 16 | 16 | 17 | 17 | 17 | 18 |
| 2880 | 48 | 14 | 14 | 14 | 15 | 15 | 15 | 16 | 16 | 16 |
| 4320 | 72 | 14 | 14 | 14 | 14 | 15 | 15 | 15 | 15 | 16 |
| 5760 | 96 | 14 | 14 | 14 | 14 | 15 | 15 | 15 | 15 | 15 |
| 7200 | 120 | 15 | 14 | 14 | 15 | 15 | 15 | 15 | 15 | 15 |
| 8640 | 144 | 15 | 15 | 15 | 15 | 15 | 15 | 15 | 15 | 15 |
| 10080 | 168 | 15 | 15 | 15 | 15 | 15 | 15 | 15 | 15 | 15 |

Parameter für abweichende T und D

Lokationsparameter ξ (Xi)

17,91722788

Skalenparameter α (Alpha)

4,90336437

Formparameter κ (Kappa)

-0,1

1. Koutsoyiannis-Parameter θ (Theta)

0,02216827

2. Koutsoyiannis-Parameter η (Eta)

0,75286828

Parameter für dauerstufenübergreifende Extremwertschätzung nach KOUTSOYIANNIS et al. 1998.

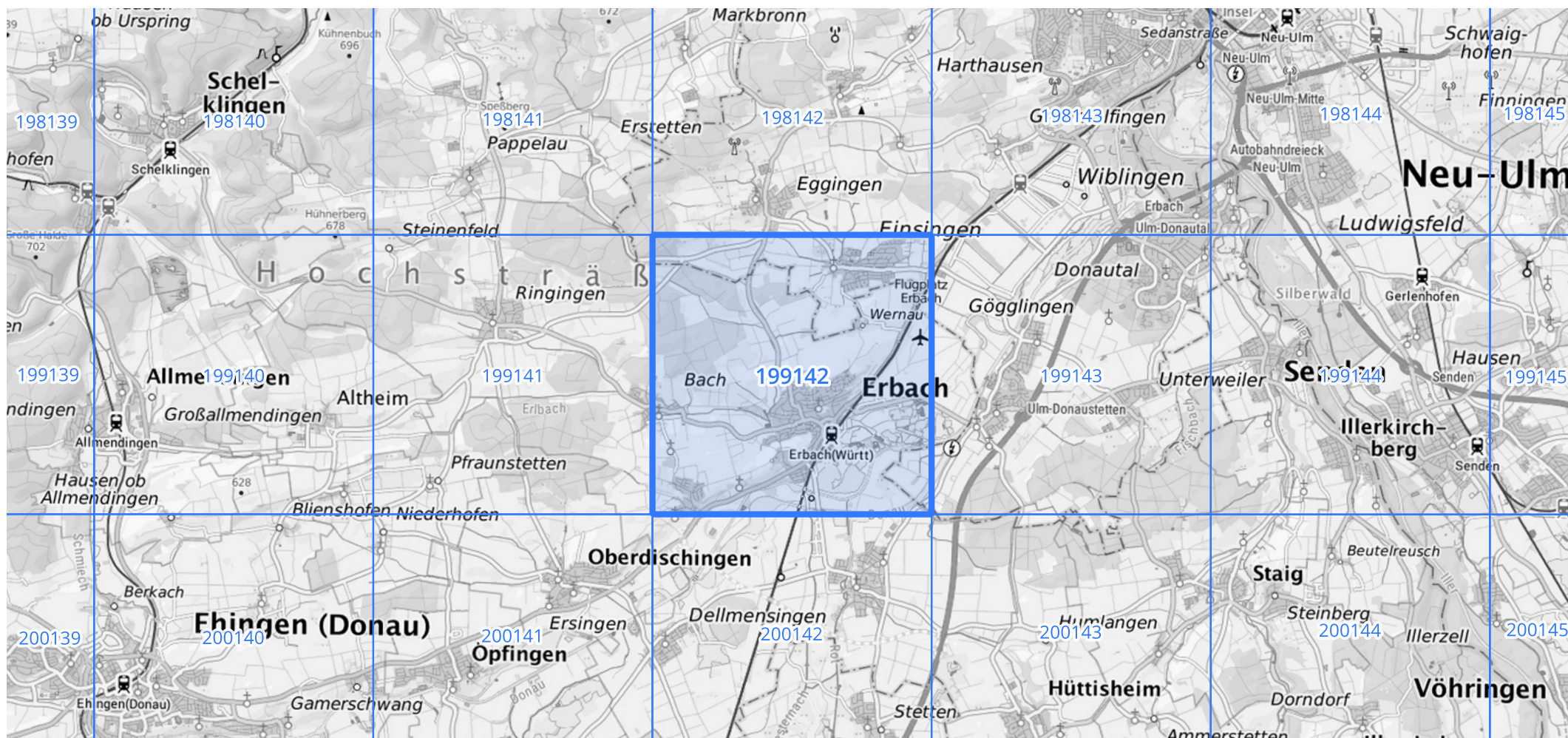
Siehe auch Anwendungshilfe zu KOSTRA-DWD-2020 des Deutschen Wetterdienstes.

Starkniederschlagshöhen und -spenden gemäß KOSTRA-DWD-2020

Rasterfeld 199142

(Zeile 199, Spalte 142)

Übersichtskarte des Rasterfeldes 199142, M 1 : 100 000



Quelle Rasterdaten: KOSTRA-DWD-2020 des Deutschen Wetterdienstes, Stand 12/2022.

Seite 3 von 3

Kartendarstellung: © Bundesamt für Kartographie und Geodäsie (2023), Datenquellen: https://sgx.geodatenzentrum.de/web_public/gdz/datenquellen/Datenquellen_TopPlusOpen.html

Für die Richtigkeit und Aktualität der Angaben wird keine Gewähr übernommen. Erstellt 01/2023.